

О ВЕРОЯТНОСТНОМ РЕШЕНИИ НЕКОТОРЫХ НЕЛИНЕЙНЫХ УРАВНЕНИЙ ОТНОСИТЕЛЬНО МЕР

Некруткин В. В., к. ф.-м. н., доцент кафедры статистического
моделирования СПбГУ, vnekr@statmod.ru,

Суровикина Т.О., студентка кафедры статистического моделирования
СПбГУ, tamara.surovikina@gmail.com

Аннотация

В работе строится процесс, описывающий движение и столкновения пробной частицы в сосуде с другими такими же частицами, и предъявляется нелинейное уравнение в мерах, решением которого является распределение соответствующей характеристики этого процесса. Особенностью рассматриваемого процесса является возможность вылета частиц из сосуда, в котором происходит их движение.

Введение. Два известных нелинейных уравнения относительно мер

Уравнения больцмановского типа. Некоторые физические процессы описываются при помощи уравнений в мерах. Например, в книге [1, гл. 4] рассматриваются, в частности, следующее уравнение, соответствующее в динамике разреженных газов нелинейному уравнению Больцмана для псевдомаксвелловских частиц:

$$\begin{aligned} \phi_t(dy) = e^{-\lambda t} \int_D \phi_0(dx) \delta_{S_t(x)}(dy) + \\ + \int_0^t \lambda e^{-\lambda(t-s)} ds \left(\int_D \delta_{S_{t-s}(x)}(dy) T(dx; y_1, y_2) \int_{D^2} \phi_s(dy_1) \phi_s(dy_2) \right). \end{aligned} \quad (1)$$

Здесь (D, ρ, \mathcal{B}) — фазовое пространство движущихся частиц, $S_t : D \mapsto D$, $t \geq 0$ — полугруппа, описывающая их свободное движение, ϕ_0 — вероятностное распределение, задающее начальное положение частиц, $T(\cdot; y_1, y_2)$ — “ударная трансформанта”, описывающее положение первой из двух сталкивающихся частиц после их столкновения, если до столкновения они имели координаты y_1 и y_2 .

Наконец, λ — это параметр показательного распределения $\text{EXP}(\lambda)$, задающего время свободного движения частиц между столкновениями.

С точки зрения физической интерпретации мера ϕ_t отвечает за совместное распределение координаты и скорости пробной частицы в момент времени t .

В [1] описан случайный процесс Φ_t , “решающий” уравнение (1) в том смысле, что распределение $\mathcal{L}(\Phi_t)$ равно ϕ_t (см. [1, теор. 4.1.1]).

Формально этому “столкновительному” процессу соответствует следующий алгоритм, являющийся основой для решения уравнения (1) методом Монте-Карло.

Алгоритм 1.

1. $n \leftarrow 1, t_0 \leftarrow t$.
2. $y_n \leftarrow \phi_0(\cdot), t_n \leftarrow 0$.
3. $\tau \leftarrow \text{EXP}(\lambda)$.
4. Если $t_n + \tau \leq t_{n-1}$, то $y_n \leftarrow S_\tau(y_n), t_n \leftarrow t_n + \tau, n \leftarrow n + 1$ и goto(2).
5. $r \leftarrow t_{n-1} - t_n, y_n \leftarrow S_r(y_n)$. Если $n > 1$, то $y_{n-1} \leftarrow T(\cdot; y_{n-1}, y_n), n \leftarrow n - 1$ и goto(3), иначе — $\Phi_t \leftarrow y_n$ и STOP.

Здесь под записью вида $y \leftarrow \psi(\cdot)$ понимается действие “получить реализацию y случайной величины, имеющей распределение $\psi(\cdot)$ ”. Кроме того, под goto(k) подразумевается переход к k -ому шагу алгоритма.

Заметим, что решающим моментом доказательства теоремы 4.1.1 в [1] является представление $\mathcal{L}(\Phi_t)$ в виде суммы мер, индексированных всевозможными бинарными деревьями (так называемые “суммы Вальда”, [1, лем. 4.1.1]), а также рассмотрения специального марковского процесса с фазовым пространством $D = \cup_n D^n$.

Несмотря на то, что моделирование столкновительного процесса является несмещенным, трудоемкость его растет экспоненциально с ростом t . Поэтому на практике для решения уравнения (1) используют другие процессы, связанные с так называемым “распространением хаоса”. Библиографию, относящуюся к использованию распространения хаоса к уравнениям типа (1), можно найти в [2].

“Стационарное” нелинейное уравнение в мерах. Уравнение (1) описывает динамику попарно сталкивающихся частиц. Представляют интерес, однако, и “стационарные” уравнения в мерах, решение которых не зависит от времени. Одно из таких уравнений рассмотрено в [1,

гл. 3]. Это уравнение (см. уравнение 3.4.3 [1, гл. 3]) в удобных для нас обозначениях можно записать в виде

$$\phi(dy) = (1-p) \int_{D^2} T(dy; y_1, y_2) \phi(dy_1) \phi(dy_2) + p\phi_0(dy), \quad 0 < p < 1, \quad (2)$$

причем основные параметры этого уравнения совпадают с параметрами уравнения (1), поэтому их описание опущено. Отметим только, что в данном случае нет никакого “свободного движения” частиц, но есть новый параметр p , имеющий смысл вероятности столкновения двух частиц.

Уравнению (2) соответствует процесс, описываемый следующим алгоритмом, результатом выполнения которого является случайная величина Φ .

Алгоритм 2

1. $n \leftarrow 1$.
2. $y_n \leftarrow \phi_0(\cdot)$.
3. $\alpha \leftarrow U_{0,1}(\cdot)$.
4. Если $\alpha > p$, то $n \leftarrow n + 1$ и goto(2).
5. Если $n > 1$, то $y_{n-1} \leftarrow T(\cdot; y_{n-1}, y_n)$, $n \leftarrow n - 1$ и goto(3);
6. Иначе — $\Phi \leftarrow y_n$ и STOP.

Для описанного процесса известен следующий результат (теорема 4.3.3 [1]).

Пусть ξ_1, ξ_2, \dots — однородная марковская цепь (ОМЦ) с фазовым пространством $\mathbf{D} = \cup_{n \geq 1} D^n \cup \{\Delta\}$, начальным распределением ϕ_0 , сосредоточенном в D и переходной функцией P такой, что $P(\{\Delta\}; \Delta) = 1$, $P(\{\Delta\}; y) = p$ при $y \in D$ и

$$P(dx^m; y^n) = \begin{cases} (1-p) \otimes_{i=1}^n \delta_{y_i}(dx_i) \phi_0(dx_{n+1}), & m = n+1 \geq 2, \\ p \otimes_{i=1}^n \delta_{y_i}(dx_i) T(dx_{n-1}; y_{n-1}, y_n), & m = n-1 \geq 1. \end{cases}$$

Теорема 1. Пусть $\tau + 1$ — момент обрыва описанной ОМЦ. Если $p \geq 1/2$, то τ конечно почти всюду и распределение $\mathcal{L}(\xi_\tau)$ равно ϕ , где ϕ удовлетворяет уравнению (2).

Таким образом, в [1] описаны два нелинейных уравнения относительно мер, одно из которых (уравнение (1)) описывает динамику положения движущихся и взаимодействующих частиц по времени, а второе (уравнение (2)) является “стационарным”, но в нём отсутствует движение частиц между столкновениями. При этом в обоих случаях описаны процедуры моделирования, “решающие” эти уравнения. Целью данной работы стало в некотором роде совмещение этих двух подходов. То есть нужно получить “стационарное” уравнение (и соответствующий процесс моделирования), в котором учитывается движение частиц между столкновениями.

Движение пробной частицы в сосуде с взаимодействующими частицами.

Описание алгоритма. При описании столкновительного процесса Алгоритма 1 предполагалось, что все частицы рождаются в множестве D и в своем движении из этого множества не вылетают.

Здесь мы рассмотрим случай, когда множество D имеет две “границы” Γ_1 и Γ_2 (все три множества попарно непересекаются), имеющие следующий смысл: в множестве Γ_1 частицы рождаются (соответствующее распределение обозначено ψ) и оттуда влетают в область D , а при достижении множества Γ_2 частицы вылетают из D .

При этом движение частиц в множестве D по-прежнему описывается полугруппой S_t , а время достижения множества Γ_2 из точки $x \in D \cup \Gamma_1$ обозначается $t(x)$.

Кроме того, в новом алгоритме задействован еще и параметр p , имеющий тот же смысл, что и в Алгоритме 2.

Опишем новый алгоритм моделирования процесса взаимодействия частиц, результат которого обозначен Φ .

Алгоритм 3

1. $n \leftarrow 1$.
2. $z_n \leftarrow \psi(\cdot)$, $t \leftarrow t(z_n)$.
3. $\eta \leftarrow \text{EXP}(\lambda)$.
4. Если $\eta < t$, то $z_n \leftarrow S_\eta(z_n)$, иначе — $\Phi \leftarrow \Delta$, STOP.
5. $\alpha \leftarrow U_{0,1}(\cdot)$.
6. Если $\alpha > p$, то $n \leftarrow n + 1$, goto (2).

7. Если $n > 1$, то $z_{n-1} \leftarrow T(\cdot; z_{n-1}, z_n)$, $t \leftarrow t(z_{n-1})$, $n \leftarrow n - 1$ и goto (3), иначе — $\Phi \leftarrow z_1$, STOP.

Проиллюстрируем работу алгоритма на графическом примере, имеющем вид бинарного дерева. Здесь под τ_i понимаются конкретные реализации случайной величины η , имеющей распределение $\text{EXP}(\lambda)$. При этом на рис. 1 подразумевается, что за времена τ_i соответствующие частицы не вылетают из области и поэтому в результате $\Phi \in D$ (иначе $\Phi = \Delta$).

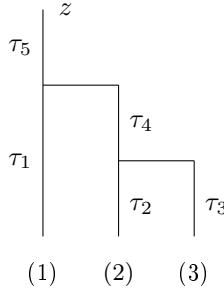


Рис. 1: Пример изображения работы алгоритма

На рисунке 1 изображена следующая ситуация: первая частица рождается на Γ_1 и свободно движется τ_1 единиц времени, не вылетая из области D . Затем (с вероятностью $1 - p$) она “ждет” партнера для возможного столкновения. Первый кандидат на роль этого партнера — вторая частица, которая рождается и свободно движется в течение времени τ_2 , также не вылетая из области D .

Однако здесь столкновения первой и второй не происходит, поскольку (с вероятностью $1 - p$) вторая частица тоже должна “ждать” партнера для возможного столкновения.

Поэтому рождается третья частица, движущаяся в течение времени τ_3 и остающаяся в результате этого движения в D . И эта частица сталкивается со второй, поскольку реализуется событие с вероятностью p , а не с $1 - p$.

В результате столкновения третья частица исчезает, а вторая приобретает новую фазовую координату. Потом эта частица свободно движется в течение времени τ_4 , останавливается в D и сталкивается (с вероятностью p) с первой.

Наконец, первая частица после столкновения движется τ_5 единиц времени, останавливается в точке $z \in D$ и, поскольку осуществляется

событие с вероятностью p , то работа алгоритма заканчивается, и его результатом оказывается $\Phi = z$.

Уравнение в мерах. Обозначим Θ событие, состоящее в том, что алгоритм завершил работу.

Предложение 1. 1. Если $p \geq 1/2$ или $\sup_x t(x) < \infty$, то $P(\Theta) = 1$.

2. Пусть $P(\Theta) = 1$. тогда выполняются следующие утверждения.

- Мера $\mathcal{L}(\Phi, \Phi \in D)$ удовлетворяет уравнению

$$\phi(\cdot) = \int_{D^2} \Psi(\cdot; x_1, x_2) \phi(dx_1) \phi(dx_2) + \theta(\cdot), \quad (3)$$

где

$$\theta(A) = p \int_{\Gamma_1} \psi(dx) \int_0^{t(x)} \lambda e^{-\lambda z} \delta_{S_x(z)}(A) dz.$$

и

$$\Psi(A; x_1, x_2) = (1 - p) \int_D T(dy; x_1, x_2) \int_0^{t(y)} \lambda e^{-\lambda z} \delta_{S_z(y)}(A) dz.$$

- Итерации

$$\phi^{(n)}(\cdot) = \int_{D^2} \Psi(\cdot; x_1, x_2) \phi^{(n-1)}(dx_1) \phi^{(n-1)}(dx_2) + \theta(\cdot), \quad \phi^{(0)} = \theta,$$

сходятся к ϕ .

Метод Монте-Карло для решения уравнения (3). Рассмотрим итерационное решение ϕ уравнения (3) и, взяв измеримую ограниченную функцию $h : D \mapsto \mathbb{R}$, поставим задачу построения несмещенной оценки интеграла $J = \int_D h d\phi$. Если процесс Алгоритма 3 обрывается с вероятностью 1, то из Предложения 1 следует, что случайная величина

$$\xi = \begin{cases} h(\Phi), & \Phi \in D, \\ 0, & \Phi = \Delta \end{cases}$$

как раз обладает этим свойством, причем $D\xi < \infty$.

Если, однако, $p > 1/2$, то можно построить оценку J с меньшей дисперсией.

Для этого достаточно вместо распределения $\text{EXP}(\lambda)$ времени свободного движения частиц (см. третий пункт Алгоритма 3) ввести урезанное показательное распределение $\text{EXP}_T(\lambda)$ с плотностью

$$p_T(t) = \frac{\lambda e^{-\lambda t}}{1 - \exp(-\lambda T)}, \quad 0 < t < T,$$

таким образом, что частица, стартующая из точки x движется по траектории, определяемой полугруппой S_t в течение случайного времени с плотностью распределения $p_{t(x)}$, а оценка при этом получает множитель $1 - e^{-\lambda t(x)}$. Таким образом, в исходном алгоритме надо изменить третью строчку на $\eta \leftarrow \text{EXP}_{t(x)}(\lambda)$, $\Phi \leftarrow \Phi \cdot (1 - e^{-\lambda t(z_n)})$ и считать, что Φ иницируется единицей, а при завершении алгоритма — домножается на значение координаты пробной частицы, то есть $\Phi \leftarrow \Phi \cdot z_1$ вместо $\Phi \leftarrow z_1$.

Заключение

Таким образом, в настоящей работе рассмотрено уравнение (3), обладающее чертами как уравнения (1), так и уравнения (2), и построен случайный процесс, “решающий” это уравнение.

Литература

- [1] S.M. Ermakov, V.V. Nekrutkin, A.S. Sipin. Random Processes for Classical Equations of Mathematical Physics. // Kluwer Academic Publishers, 1989.
- [2] V. Nekrutkin, Kac particle systems with free motion and equations of Boltzmann type.// Monte Carlo Methods and Appl., 9, No 1, 13-25, 2003.